

ΕΘΝΙΚΟ ΜΕΤΣΟΒΙΟ ΠΟΛΥΤΕΧΝΕΙΟ
ΣΧΟΛΗ ΗΛΕΚΤΡΟΛΟΓΩΝ ΜΗΧΑΝΙΚΩΝ ΚΑΙ ΜΗΧΑΝΙΚΩΝ
ΥΠΟΛΟΓΙΣΤΩΝ



ΗΛΕΚΤΡΟΜΑΓΝΗΤΙΚΑ ΠΕΔΙΑ Β

(2020-2021)

1^η Σειρά Ασκήσεων

Ονοματεπώνυμο:

➤ Χρήστος Τσούφης

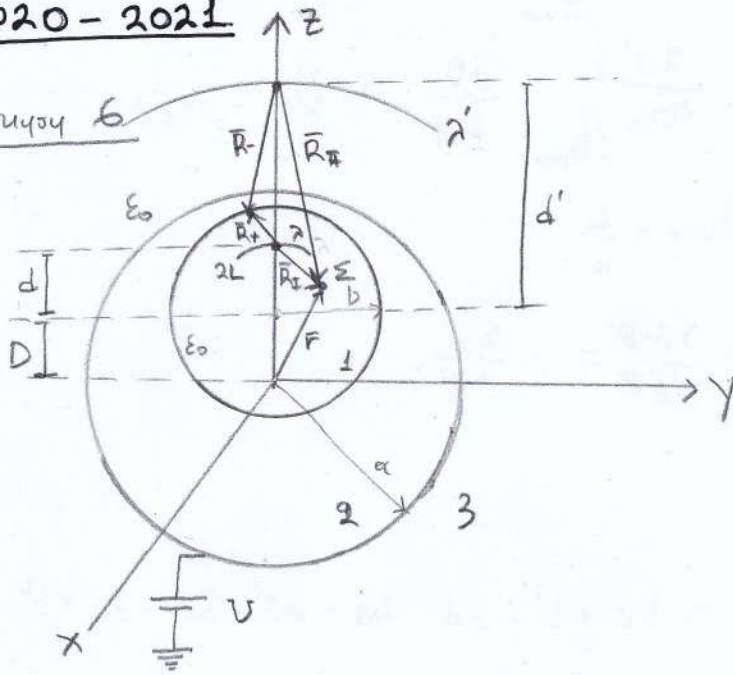
Αριθμός Μητρώου:

➤ 03117176

Σειρά Ασκήσεων 1^η

2020-2021

Ασκήση 6

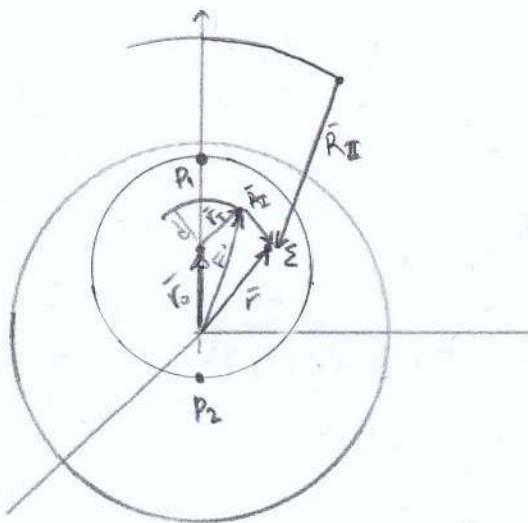


α) Περιοχή 1 : $\phi = 0 \Rightarrow \phi = \frac{1}{4\pi\epsilon_0} \int dq' \left(\frac{1}{R^+} + \frac{1}{R^-} \right) = 0 \Rightarrow$

$\Rightarrow \frac{1}{4\pi\epsilon_0} \left(\frac{q}{R^+} + \frac{q'}{R^-} \right) = 0 \Rightarrow \frac{q}{R^+} + \frac{q'}{R^-} = 0 \Rightarrow$

$\Rightarrow \frac{R}{R^+} = - \frac{q'}{q} > 0 \Rightarrow q' \cdot q < 0$

όπου $q = \lambda \cdot d \cdot d\theta$, $q' = \lambda' \cdot d' \cdot d\theta$



$\bar{R}_I = \bar{r} - \bar{r}'$

$\bar{r} = x\hat{x} + y\hat{y} + z\hat{z}$

$\bar{r}' = \bar{r}_r + \bar{r}_o$

$\bar{r}_r = d\cos\varphi\hat{y} + d\sin\varphi\hat{z}$

$\bar{r}_o = D\hat{z}$

$\Rightarrow \bar{R}_I = x\hat{x} + (y - d\cos\varphi)\hat{y} + (z - d\sin\varphi - D)\hat{z}$

και ομοια, $\bar{R}_{II} = x\hat{x} + (y - d'\sin\theta)\hat{y} + (z - d'\cos\theta - D)\hat{z}$

και επομενως, $|\bar{R}_I| = R_I = \sqrt{x^2 + (y - d\cos\varphi)^2 + (z - d\sin\varphi - D)^2}$

$|\bar{R}_{II}| = R_{II} = \sqrt{x^2 + (y - d'\sin\theta)^2 + (z - d'\cos\theta - D)^2}$

Αφού στην διοχωριστική επίφάνεια της σφαιρικής κοιλότητας δεν υπάρχουν επιφ. ρεύματα, και το δυναμικό είναι συνεχές, θα πρέπει να μέσα στην κοιλότητα να οδραιοστεί το δυναμικό U .

$$\text{Συνεπώς, } \Phi_I(x, y, z) = \frac{\lambda \cdot d}{4\pi\epsilon_0} \int_{-\theta_{\max}}^{\theta_{\max}} \frac{d\theta}{R_I} + \frac{\lambda' \cdot d'}{4\pi\epsilon_0} \int_{-\theta_{\max}}^{\theta_{\max}} \frac{d\theta}{R_{II}} + U, \quad r \leq b$$

όπου $r = \sqrt{x^2 + y^2 + (z-D)^2}$, $\theta_{\max} = \frac{L}{d}$

Επίσης, $P_1: \frac{b-d}{d'-b} = -\frac{|R+|}{|R-|} = -\frac{q'}{q} = -\frac{\lambda \cdot d \cdot d\theta}{\lambda' \cdot d' \cdot d\theta} = -\frac{\lambda d}{\lambda' d'}$

$P_2: \frac{d+b}{d'+b} = -\frac{\lambda \cdot d}{\lambda' \cdot d'}$

Όπως $P_1 = P_2 \Rightarrow \frac{b-d}{d'-b} = \frac{d+b}{d'+b} \Rightarrow bd' + b^2 - dd' - bd = dd' + bd' - bd - b^2 \Rightarrow$
 $\Rightarrow 2b^2 = 2dd' \Rightarrow b^2 = dd' \Rightarrow d' = \frac{b^2}{d}$

οπότε $\frac{d+b}{d'+b} = \frac{d+b}{\frac{b^2}{d} + b} = \frac{d(d+b)}{b^2 + db} = \frac{d(d+b)}{b(d+b)} = \frac{d}{b} \Rightarrow -\frac{\lambda d}{\lambda' d'} = \frac{d}{b} \Rightarrow$
 $\Rightarrow \lambda' = -\lambda \frac{d}{b}$

Περιοχή 2: Αφού η σφαίρα είναι αγώγιμη, θα ισχύει $\Phi = U$, $r \leq a$, $r \geq b$

Περιοχή 3: $\nabla^2 \Phi_{II} = 0 \Rightarrow \frac{1}{r^2} \frac{\partial}{\partial r} \left(r^2 \frac{\partial \Phi_{II}}{\partial r} \right) = 0 \Rightarrow$

$\Rightarrow \Phi_{II}(r) = -\frac{C_1}{r} + C_2$

για $\Phi_{II}(r \rightarrow \infty) = 0 \Rightarrow C_2 = 0$

και $\Phi_{II}(r=a) = U \Rightarrow C_1 = -aU$

Άρα $\Phi_{II}(r) = U \cdot \frac{a}{r}$, $r \geq a$, όπου $r = \sqrt{x^2 + y^2 + z^2}$

β) Περιοχή 1:

$$\vec{E}_I(x, y, z) = \frac{1}{4\pi\epsilon_0} \int_{-Q_{max}}^{Q_{max}} \frac{dq_I}{R_I^2} \hat{l}_I + \frac{1}{4\pi\epsilon_0} \int_{-Q_{max}}^{Q_{max}} \frac{dq_{II}}{R_{II}^2} \hat{l}_{II} \quad , r \leq b$$

όπου $q = \lambda \cdot d \cdot d\theta$, $q' = \lambda' d' d\theta$, $\hat{l}_I = \frac{\vec{R}_I}{|\vec{R}_I|}$, $\hat{l}_{II} = \frac{\vec{R}_{II}}{|\vec{R}_{II}|}$, θ

Περιοχή 3:

$$\vec{E}_{III}(x, y, z) = -\vec{\nabla}\Phi$$

$$\vec{\nabla}\Phi_I = 0 \Rightarrow \frac{1}{r^2} \frac{\partial}{\partial r} \left(r^2 \frac{\partial \Phi_I}{\partial r} \right) = 0 \Rightarrow \Phi_I(r) = -\frac{C_1}{r} + C_2$$

$$\text{p.o. } \Phi_I(r \rightarrow \infty) = 0 \Rightarrow C_2 = 0$$

$$\text{p.o. } \Phi_I(r=0) = V \Rightarrow C_1 = -aV$$

$$\text{δp. } \Phi_I(r) = V \frac{a}{r} \quad , r \geq a$$

$$\text{Άρα } \vec{E}_{II}(x, y, z) = -\vec{\nabla}\Phi = V \frac{a}{r^2} \hat{r} = V \frac{a}{r^3} \cdot \vec{r} \quad , \text{όπου } r = \sqrt{x^2 + y^2 + z^2} \quad , r \leq a$$

Περιοχή 2:

$$\vec{E}_{II}(x, y, z) = 0 \quad , r \leq a, r \geq b$$

6^η Άσκηση

α – β) Η επίλυση φαίνεται στις χειρόγραφες σελίδες.

γ) Παρουσιάζεται αποσπασματικά ο κώδικας Matlab:

```
clear;

% initialization
a=10; b=5; d=3; D=2.5; L=3;
theta_max=L/d;
d1=(b^2)/d;

% set Electric Field, Potential & values for y, z
% set surface density in [0, 2*pi]
% set values
val1 = y - d*sin(theta);
val2 = z - d*cos(theta);
val3 = y - d1*sin(theta);
val4 = z - d1*cos(theta);

R = @(theta,y,z) ((val1)^2 + (val2)^2)^0.5;
R1 = @(theta,y,z) ((val3)^2 + (val4)^2)^0.5;

Vy = @(theta,y,z) [(d*(val1))/[R(theta,y,z)^3]] - [(b*(val3))/[R1(theta,y,z)^3]];
Vz = @(theta,y,z) [(d*(val2))/[R(theta,y,z)^3]] - [(b*(val4))/[R1(theta,y,z)^3]];

% set the integral of electrostatic potential of an electric field
potential=@(theta,y,z) (d/R(theta,y,z))-b/R1(theta,y,z);

%calculation of elec. field depending on the location of the point among the circles
for i_y = 1:length(yy)
    for i_z = 1:length(zz)
        y0 = Y(i_y,i_z);
        z0 = Z(i_y,i_z);
        rk = sqrt(y0^2 + (z0-D)^2);
        rs = sqrt(y0^2 + z0^2);

        % inner circle
        if (rk<b)
            z0=z0-D;
            F(i_y,i_z)=integral(@theta)potential(theta, y0, z0),-1, 1, 'RelTol', 0,
'AbsTol', 1e-12) + 1;
            Ey(i_y,i_z)=integral(@theta)Vy(theta,y0,z0),-1,1);
            Ez(i_y,i_z)=integral(@theta)Vz(theta,y0,z0),-1,1);
            if(F(i_y,i_z)>6)
                F(i_y,i_z)=6;
            end
        else
```

```

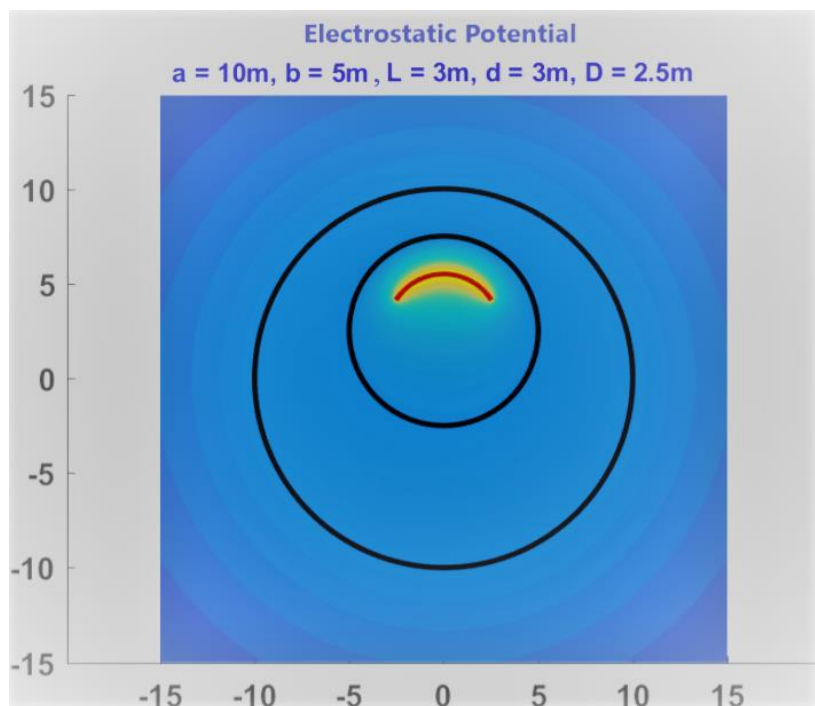
        % intermediate circle
        if (rs<a)
            F(i_y,i_z)=1;
            Ey(i_y,i_z)=0;
            Ez(i_y,i_z)=0;
        else
            F(i_y,i_z)=a/rs;
            Ey(i_y,i_z)=(a*y0)/(rs^3);
            Ez(i_y,i_z)=(a*z0)/(rs^3);
        end
    end
end

% for the depiction
th = 0:pi/50:2*pi;
x_axis = a*cos(th);
y_axis = a*sin(th);
z_axis = 6 + zeros(size(x_axis));
x1_axis = b*cos(th);
y1_axis = b*sin(th) + D;
z1_axis = 6 + zeros(size(x1_axis));

```

Παρουσιάζεται η γραφική παράσταση:

Για το Ηλεκτροστατικό Δυναμικό:



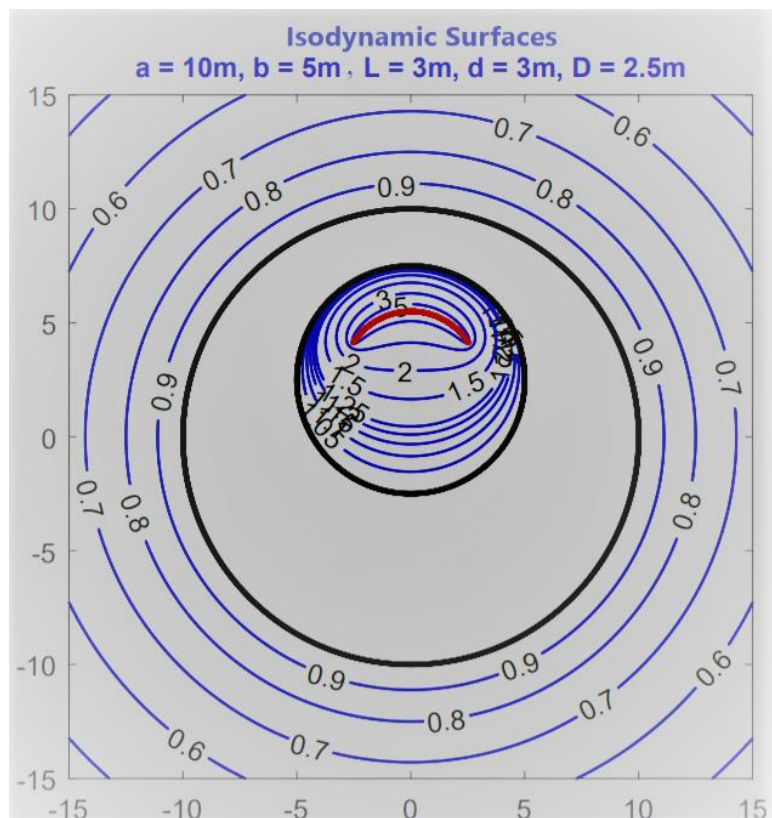
Παρουσιάζεται αποσπασματικά ο κώδικας Matlab:

```
% set Isodynamic Surfaces

cont = [0.5 0.55 0.6 0.65 0.7 0.75 0.8 0.85 0.9 0.95 1 1.05 1.1 1.25 2 3 5];
fig = fig +1;
figure(fig);

[CS, H] = contour(Y, Z, F, cont, 'Linewidth', 2, 'Color', 'b');
clabel(CS, H, cont);
hold on
set(gca, 'FontSize', 14)
xlabel('y', 'FontSize', 14)
ylabel('z', 'FontSize', 14)
title('Isodynamic Surfaces')
axis equal
grid on
hold off
```

Για Ισοδυναμικές Επιφάνειες:



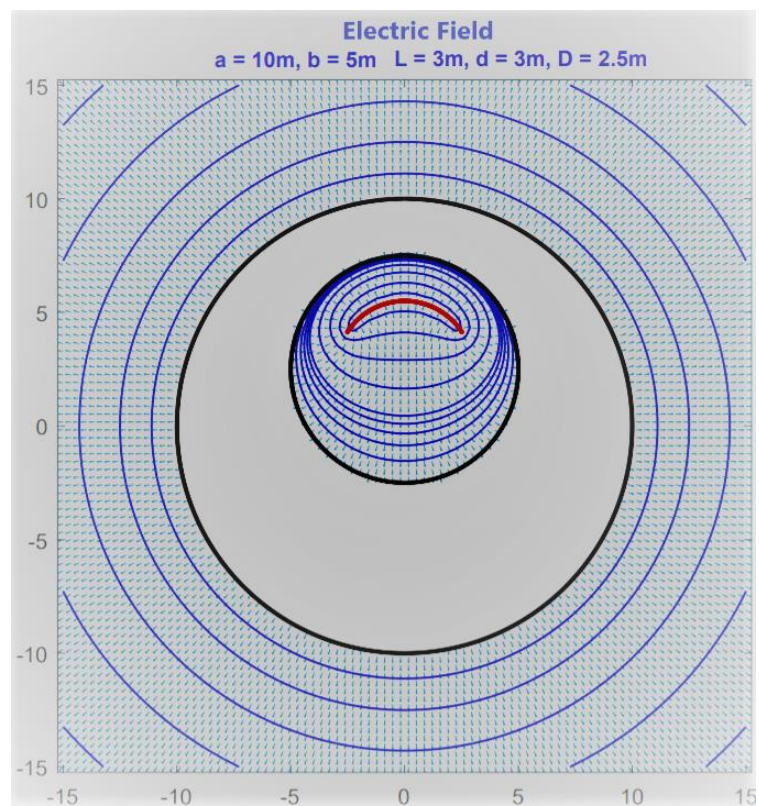
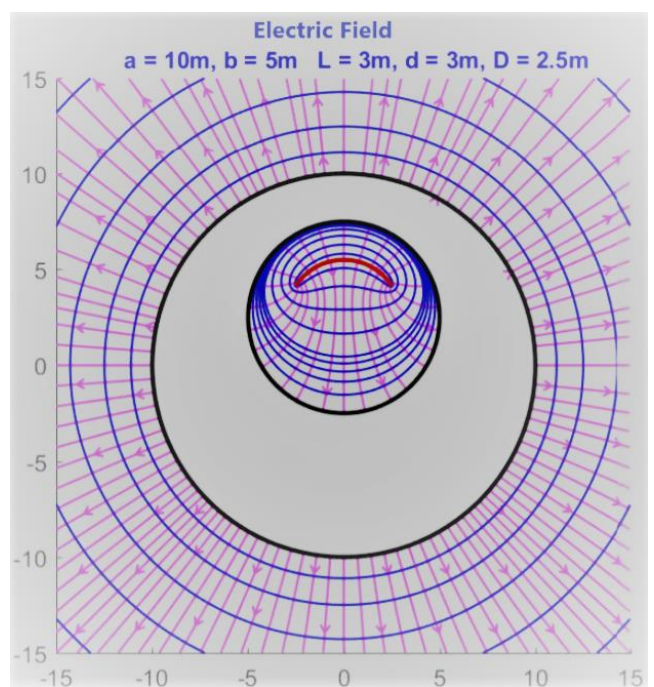
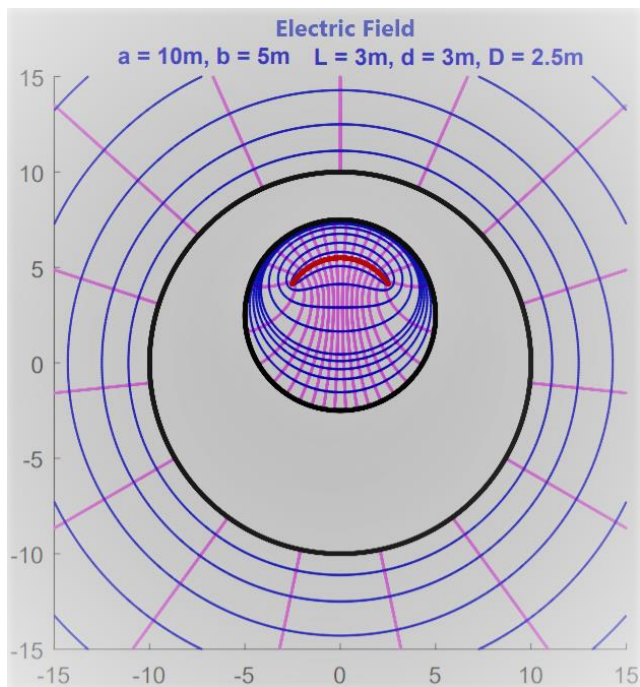
δ) Παρουσιάζεται αποσπασματικά ο κώδικας Matlab:

```
% plot with streamslice / quiver
figure(fig);
streamslice(Y, Z, Ey, Ez);
hold on
[CS, H] = contour(Y, Z, F, cont, 'Linewidth', 2, 'Color', 'b');
plot3(x_axis, y_axis, z_axis, 'Linewidth', 2, 'Color', 'b');
plot3(x1_axis, y1_axis, z1_axis, 'Linewidth', 2, 'Color', 'b');
set(gca, 'FontSize', 14);
xlabel('y', 'FontSize', 14)
ylabel('z', 'FontSize', 14)
title('Electric Field')
axis equal
grid on
hold off

% Normalized Potential
fig=fig+1;
Lnorm = ((Ey)^2 + (Ez)^2)^0.5;
figure(fig);
quiver(Y, Z, Ey/Lnorm, Ez/Lnorm, 1/2)
hold on
[CS, H] = contour(Y, Z, F, cont, 'Linewidth', 2, 'Color', 'b');
plot3(x_axis, y_axis, z_axis, 'Linewidth', 2, 'Color', 'b');
plot3(x1_axis, y1_axis, z1_axis, 'Linewidth', 2, 'Color', 'b');
set(gca, 'FontSize', 14);
xlabel('y', 'FontSize', 14)
ylabel('z', 'FontSize', 14)
title('Electric Field')
axis equal
grid on
hold off
fig=fig+1;
```


Παρουσιάζονται οι γραφικές παραστάσεις:

Για το Ηλεκτρικό Πεδίο (εντός & εκτός):



ε) Η επαγόμενη επιφανειακή πυκνότητα φορτίου είναι:

$$\sigma_b(\theta, \varphi = \pi/2) = -\epsilon_0 \left[\frac{y}{r_b} E_y(y, z) + \frac{z-D}{r_b} E_z(y, z) \right]$$

Όπου $r_b = [y^2 + (z - D)^2]^{1/2}$, $y = b \cdot \sin(\theta)$, $z = b \cdot \cos(\theta) + D$

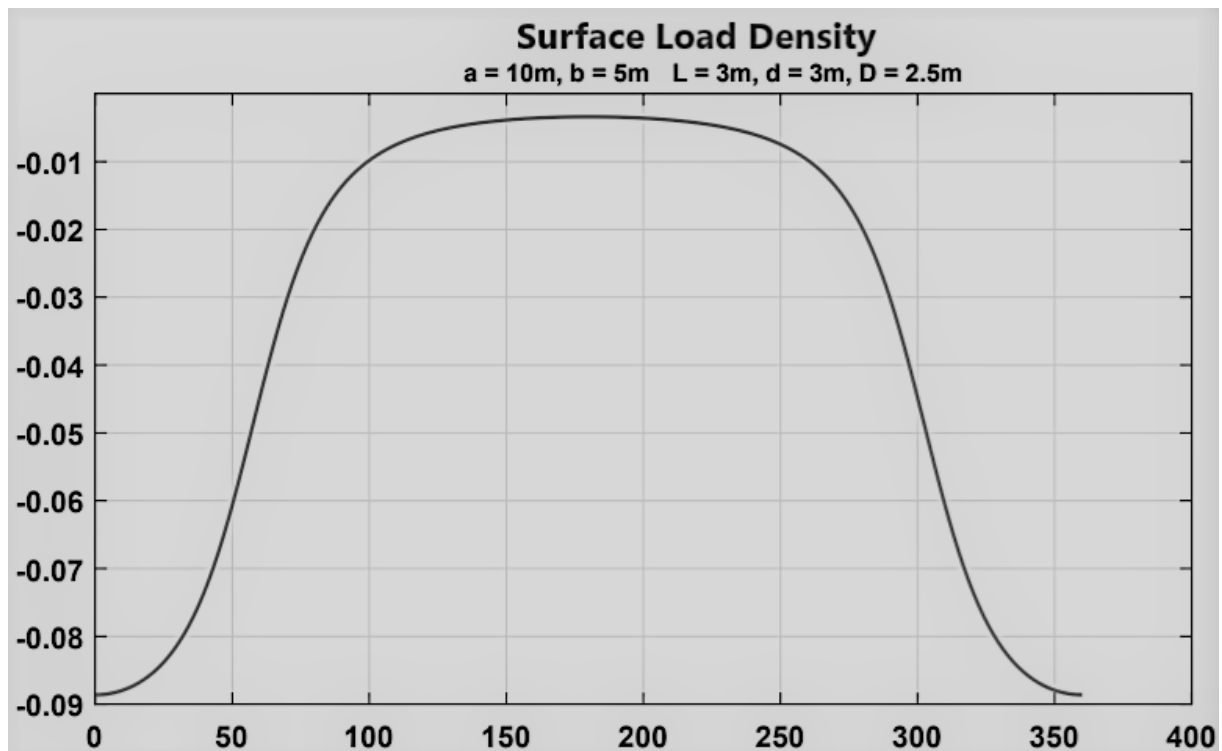
Παρατίθεται ενδεικτικά ο κώδικας Python:

```
import numpy as np
import scipy as sp
from scipy import integrate
import matplotlib
import matplotlib.pyplot as plt

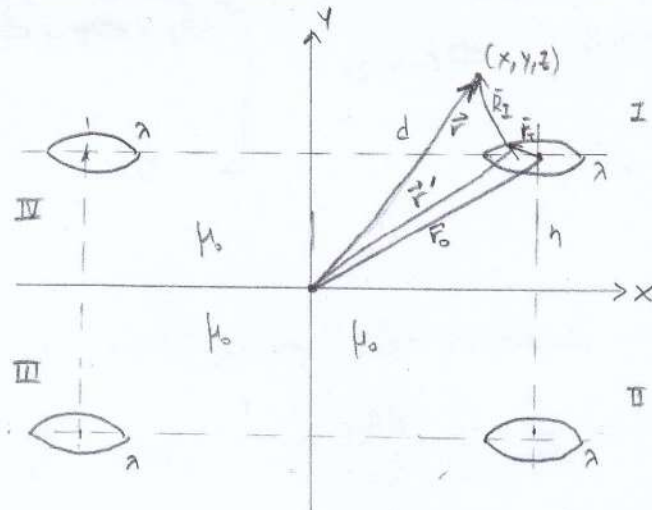
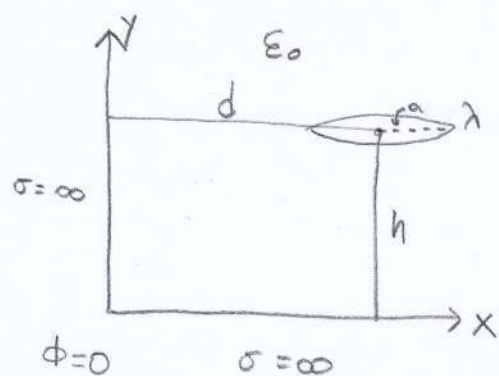
def f(t):
    def x(theta): return (-2.5*8.85)/((5-4*np.cos(t - theta))**1.5)
    a, error = integrate.quad(x, -0.75, 0.75)
    return a

f2 = np.vectorize(f)
t = np.arange(0.0, 2*np.pi, 0.001)
fig, ax = plt.subplots()
ax.plot(t, f2(t), color='blue')
ax.set(xlabel='θ', ylabel='σ', title='Surface Load Density')
plt.show()
```

Παρουσιάζεται η γραφική παράσταση:



Άσκηση 7



α) Με χρήση ειδώλων το δυναμικό υπολογίζεται ως εξής:

$$\Phi(x, y, z) = \Phi_I(x, y, z) + \Phi_{II}(x, y, z) + \Phi_{III}(x, y, z) + \Phi_{IV}(x, y, z)$$

▷ Για Φ_I : $\bar{R}_I = \bar{r} - \bar{r}'$

$$\text{όπου: } \bar{r} = x\hat{x} + y\hat{y} + z\hat{z}$$

$$\bar{r}' = \bar{r}_0 + \bar{r}_r$$

$$\bar{r}_0 = d\hat{x} + h\hat{y}$$

$$\bar{r}_r = a\cos\varphi\hat{x} + a\sin\varphi\hat{z}$$

$$\left. \begin{aligned} \bar{r}' &= [d + a\cos\varphi]\hat{x} + h\hat{y} + a\sin\varphi\hat{z} \end{aligned} \right\} \Rightarrow$$

$$\begin{aligned} \Rightarrow \bar{R}_I &= \bar{r} - \bar{r}' = x\hat{x} + y\hat{y} + z\hat{z} - [d + a\cos\varphi]\hat{x} + h\hat{y} + a\sin\varphi\hat{z} = \\ &= (x - d - a\cos\varphi)\hat{x} + (y - h)\hat{y} + (z - a\sin\varphi)\hat{z} \end{aligned}$$

$$\text{Οπότε } R_I = |\bar{R}_I| = \sqrt{(x - d - a\cos\varphi)^2 + (y - h)^2 + (z - a\sin\varphi)^2}$$

$$\begin{aligned} \text{Άρα, } \Phi_I(x, y, z) &= \frac{1}{4\pi\epsilon_0} \int \frac{dq_I}{R_I} = \frac{1}{4\pi\epsilon_0} \int_0^{2\pi} \frac{\lambda \cdot a}{R_I} d\varphi = \\ &= \frac{\lambda \cdot a}{4\pi\epsilon_0} \int_0^{2\pi} \frac{1}{R_I} d\varphi \end{aligned}$$

▷ Ομοίως, $R_{II} = |\bar{R}_{II}| = (x - d - a\cos\varphi)\hat{x} + (y + h)\hat{y} + (z - a\sin\varphi)\hat{z}$

$$\Phi_{II}(x, y, z) = \frac{\lambda \cdot a}{4\pi\epsilon_0} \int_0^{2\pi} \frac{1}{R_{II}} d\varphi$$

$$\cdot R_{III} = |\bar{R}_{III}| = (x + d - a\cos\varphi)\hat{x} + (y + h)\hat{y} + (z - a\sin\varphi)\hat{z}$$

$$\Phi_{III}(x, y, z) = \frac{\lambda \cdot a}{4\pi\epsilon_0} \int_0^{2\pi} \frac{1}{R_{III}} d\varphi$$

$$\cdot R_{IV} = |\bar{R}_{IV}| = (x + d - a\cos\varphi)\hat{x} + (y - h)\hat{y} + (z - a\sin\varphi)\hat{z}$$

$$\Phi_{IV}(x, y, z) = \frac{\lambda \cdot a}{4\pi\epsilon_0} \int_0^{2\pi} \frac{1}{R_{IV}} d\varphi$$

$$\text{Συνεπώς, } \Phi(x,y,z) = \begin{cases} \Phi_I + \Phi_{II} + \Phi_{III} + \Phi_{IV} & , x,y \geq 0 \\ 0 & , \text{αλλιώς} \end{cases}$$

β) Το ηλεκτρικό πεδίο υπολογίζεται ως εξής:

$$\triangleright \bar{E}_I = \frac{1}{4\pi\epsilon_0} \int \frac{dq_I}{R_I^2} \hat{l}_I, \text{ όπου } \hat{l}_I = \frac{\bar{R}_I}{|\bar{R}_I|}$$

$$\text{Οπότε, } \bar{E}_I = \frac{\lambda \cdot a}{4\pi\epsilon_0} \int_0^{2\pi} \frac{\bar{R}_I}{R_I^3} d\varphi = \frac{\lambda \cdot a}{4\pi\epsilon_0} \int_0^{2\pi} \frac{(x-d-a\cos\varphi)\hat{x} + (y-h)\hat{y} + (z-a\sin\varphi)\hat{z}}{R_I^3} d\varphi$$

• Ομοίως,

$$\bar{E}_{II} = \frac{1}{4\pi\epsilon_0} \int \frac{dq_{II}}{R_{II}^2} \hat{l}_{II}, \text{ όπου } \hat{l}_{II} = \frac{\bar{R}_{II}}{|\bar{R}_{II}|}$$

$$\text{Οπότε, } \bar{E}_{II} = \frac{\lambda a}{4\pi\epsilon_0} \int_0^{2\pi} \frac{\bar{R}_{II}}{R_{II}^3} d\varphi = \frac{\lambda a}{4\pi\epsilon_0} \int_0^{2\pi} \frac{(x-d-a\cos\varphi)\hat{x} + (y+h)\hat{y} + (z-a\sin\varphi)\hat{z}}{R_{II}^3} d\varphi$$

$$\bar{E}_{III} = \frac{1}{4\pi\epsilon_0} \int \frac{dq_{III}}{R_{III}^2} \hat{l}_{III}, \text{ όπου } \hat{l}_{III} = \frac{\bar{R}_{III}}{|\bar{R}_{III}|}$$

$$\text{Οπότε, } \bar{E}_{III} = \frac{\lambda a}{4\pi\epsilon_0} \int_0^{2\pi} \frac{\bar{R}_{III}}{R_{III}^3} d\varphi = \frac{\lambda a}{4\pi\epsilon_0} \int_0^{2\pi} \frac{(x+d-a\cos\varphi)\hat{x} + (y+h)\hat{y} + (z-a\sin\varphi)\hat{z}}{R_{III}^3} d\varphi$$

$$\bar{E}_{IV} = \frac{1}{4\pi\epsilon_0} \int \frac{dq_{IV}}{R_{IV}^2} \hat{l}_{IV}, \text{ όπου } \hat{l}_{IV} = \frac{\bar{R}_{IV}}{|\bar{R}_{IV}|}$$

$$\text{Οπότε, } \bar{E}_{IV} = \frac{\lambda a}{4\pi\epsilon_0} \int_0^{2\pi} \frac{\bar{R}_{IV}}{R_{IV}^3} d\varphi = \frac{\lambda a}{4\pi\epsilon_0} \int_0^{2\pi} \frac{(x+d-a\cos\varphi)\hat{x} + (y-h)\hat{y} + (z-a\sin\varphi)\hat{z}}{R_{IV}^3} d\varphi$$

$$\text{Συνεπώς, } \bar{E}(x,y,z) = \begin{cases} \bar{E}_I + \bar{E}_{II} + \bar{E}_{III} + \bar{E}_{IV} & , x,y \geq 0 \\ 0 & , \text{αλλιώς} \end{cases}$$

$$\gamma) \sigma = (D^+ - D^-)\hat{y} = \epsilon_0 E_y^+(x=0) = \frac{\lambda \cdot a}{4\pi} \cdot \int_0^{2\pi} \left[\frac{h}{[R_I(y=0)]^3} - \frac{h}{[R_{II}(y=0)]^3} + \frac{h}{[R_{III}(y=0)]^3} + \frac{h}{[R_{IV}(y=0)]^3} \right] d\varphi$$

7^η Άσκηση

α – γ) Η επίλυση φαίνεται στις χειρόγραφες σελίδες.

δ) 1^ο σκέλος: Παρατίθεται ενδεικτικά ο κώδικας Python:

```
import numpy as np
import scipy as sp
from scipy import integrate
import matplotlib
import matplotlib.pyplot as plt
from mpl_toolkits import mplot3d

def f(x, y):
    def Fi1(TH): return (0.1)/(np.sqrt((x - 1 - 0.1*np.cos(TH)) ** 2 + (y-1)**2 + 0.01*((np.sin(TH))**2)))
    fi1, error1 = integrate.quad(Fi1, 0, np.pi*2)

    def Fi2(TH): return (-0.1)/(np.sqrt((x + 1 - 0.1*np.cos(TH)) ** 2 + (y-1)**2 + 0.01*((np.sin(TH))**2)))
    fi2, error2 = integrate.quad(Fi2, 0, np.pi*2)

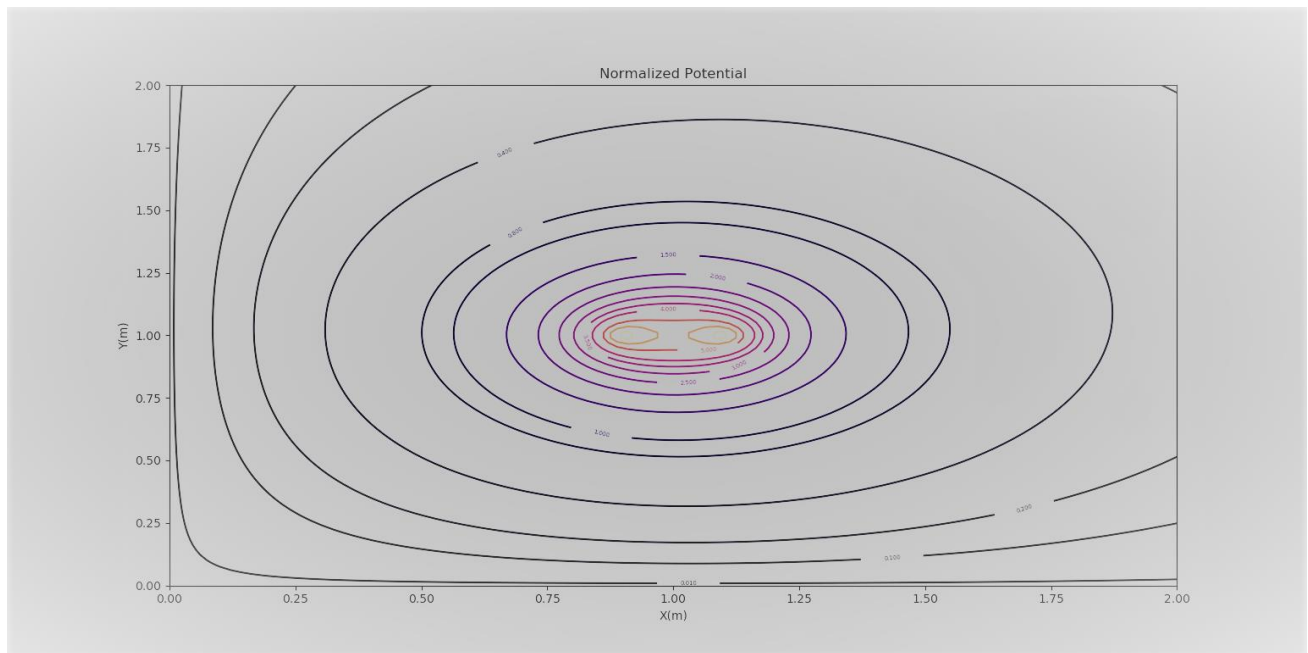
    def Fi3(TH): return (0.1)/(np.sqrt((x + 1 - 0.1*np.cos(TH)) ** 2 + (y+1)**2 + 0.01*((np.sin(TH))**2)))
    fi3, error3 = integrate.quad(Fi3, 0, np.pi*2)

    def Fi4(TH): return (-0.1)/(np.sqrt((x - 1 - 0.1*np.cos(TH))** 2 + (y+1)**2 + 0.01*((np.sin(TH))**2)))
    fi4, error4 = integrate.quad(Fi4, 0, np.pi*2)
    return fi1 + fi2 + fi3 + fi4

f1 = np.vectorize(f)
x = np.linspace(0, 2, 100)
y = np.linspace(0, 2, 100)
X, Y = np.meshgrid(x, y)
Z = f1(X, Y)

fig, ax = plt.subplots()
CS = ax.contour(X, Y, Z, zdir = 'xy', offset = 11,
                levels = [0.01, 0.1, 0.2, 0.4, 0.8, 1.0, 1.5, 2, 2.5, 3, 3.5, 4, 5, 6, 7.5],
                cmap = matplotlib.cm.magma,
                color = 'blue')
ax.clabel(CS, CS.levels, inline = True, fontsize = 5)
ax.set_title('Normalized Potential')
ax.set_xlabel('X(m)')
ax.set_ylabel('Y(m)')
plt.show()
```

Και η γραφική παράσταση είναι:



2^ο Σκέλος: Παρατίθεται ενδεικτικά ο κώδικας Python:

```
import numpy as np
import scipy as sp
from scipy import integrate
import matplotlib
import matplotlib.pyplot as plt
from mpl_toolkits import mplot3d

def f(x, y):
    def Ex1(TH): return (x - 1 - 0.1*np.cos(TH))/(((x - 1 - 0.1 * np.cos(TH))**2 + (
y - 1)**2 + 0.01*(np.sin(TH))**2)**1.5)
    ex1, error1 = integrate.quad(Ex1, 0, np.pi*2)

    def Ey1(TH): return (y-1)/(((x - 1 - 0.1*np.cos(TH)) ** 2 + (y-
1)**2 + 0.01 * (np.sin(TH))**2)**1.5)
    ey1, error1 = integrate.quad(Ey1, 0, np.pi*2)

    def Ex2(TH): return (-
1)*(x + 1 - 0.1*np.cos(TH))/(((x + 1 - 0.1*np.cos(TH))**2 + (y - 1)**2 + 0.01*(np.si
n(TH))**2)**1.5)
    ex2, error2 = integrate.quad(Ex2, 0, np.pi*2)

    def Ey2(TH): return (-1)*(y-1)/(((x + 1 - 0.1*np.cos(TH)) ** 2 + (y-
1)**2 + 0.01 * (np.sin(TH))**2)**1.5)
    ey2, error2 = integrate.quad(Ey2, 0, np.pi*2)
```

```

def Ex3(TH): return (x + 1 - 0.1*np.cos(TH))/(((x + 1 - 0.1 * np.cos(TH))**2 + (
y + 1)**2 + 0.01*(np.sin(TH))**2)**1.5)
ex3, error3 = integrate.quad(Ex3, 0, np.pi*2)

def Ey3(TH): return (y+1)/(((x + 1 - 0.1*np.cos(TH)) ** 2 + (y+1)**2 + 0.01 * (n
p.sin(TH))**2)**1.5)
ey3, error3 = integrate.quad(Ey3, 0, np.pi*2)

def Ex4(TH): return (-
1)*(x - 1 - 0.1*np.cos(TH))/(((x - 1 - 0.1*np.cos(TH))**2 + (y + 1)**2 + 0.01*(np.si
n(TH))**2)**1.5)
ex4, error4 = integrate.quad(Ex4, 0, np.pi*2)

def Ey4(TH): return (-
1)*(y+1)/(((x - 1 - 0.1*np.cos(TH)) ** 2 + (y+1)**2 + 0.01 * (np.sin(TH))**2)**1.5)
ey4, error4 = integrate.quad(Ey4, 0, np.pi*2)

Ex = ex1 + ex2 + ex3 + ex4
Ey = ey1 + ey2 + ey3 + ey4
return Ex, Ey

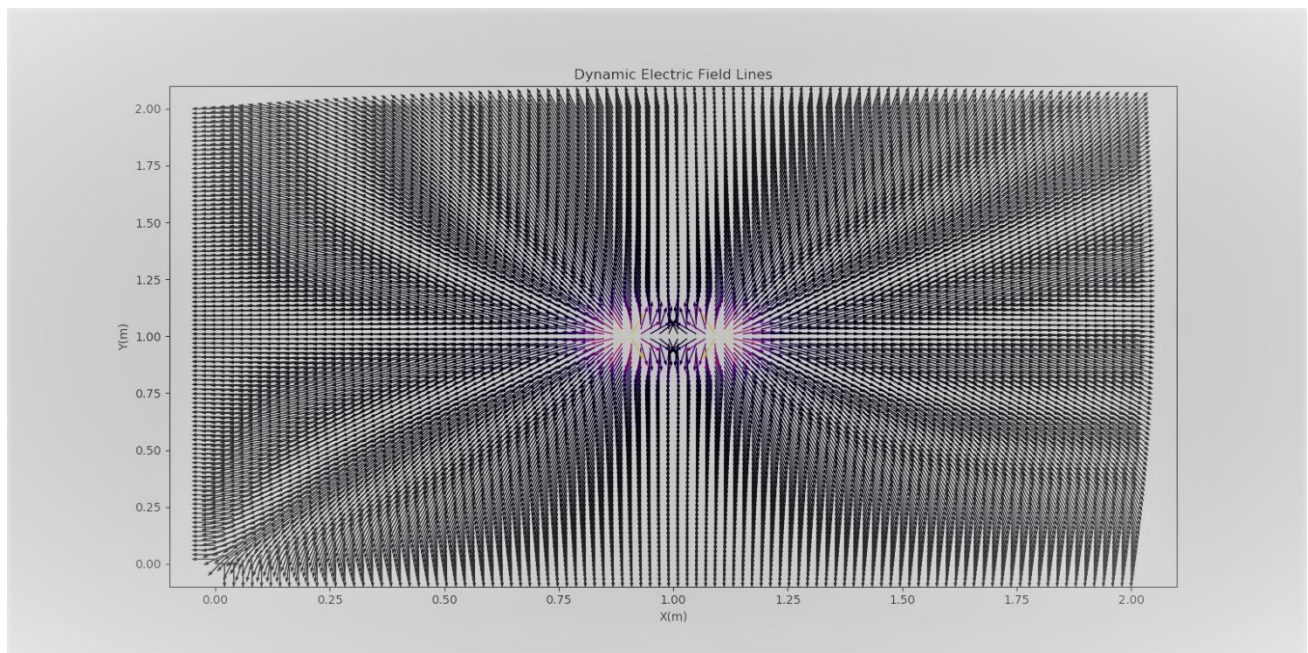
f1 = np.vectorize(f)
x = np.linspace(0, 2, 100)
y = np.linspace(0, 2, 100)
X, Y = np.meshgrid(x, y)
Ex, Ez = f1(X, Y)

fig, ax = plt.subplots()
ax.quiver(X, Y, Ex/((Ex**2+Ez**2)**0.5), Ez/((Ex**2+Ez**2)**0.5), (Ex**2+Ez**2)**0.5
,cmap=matplotlib.cm.inferno, units='xy', scale=15, zorder=3, width=0.0035, headwidth
=3., headlength=4.)
ax.set_title('Dynamic Electric Field Lines')
ax.set_xlabel('X(m)')
ax.set_ylabel('Y(m)')
plt.show()

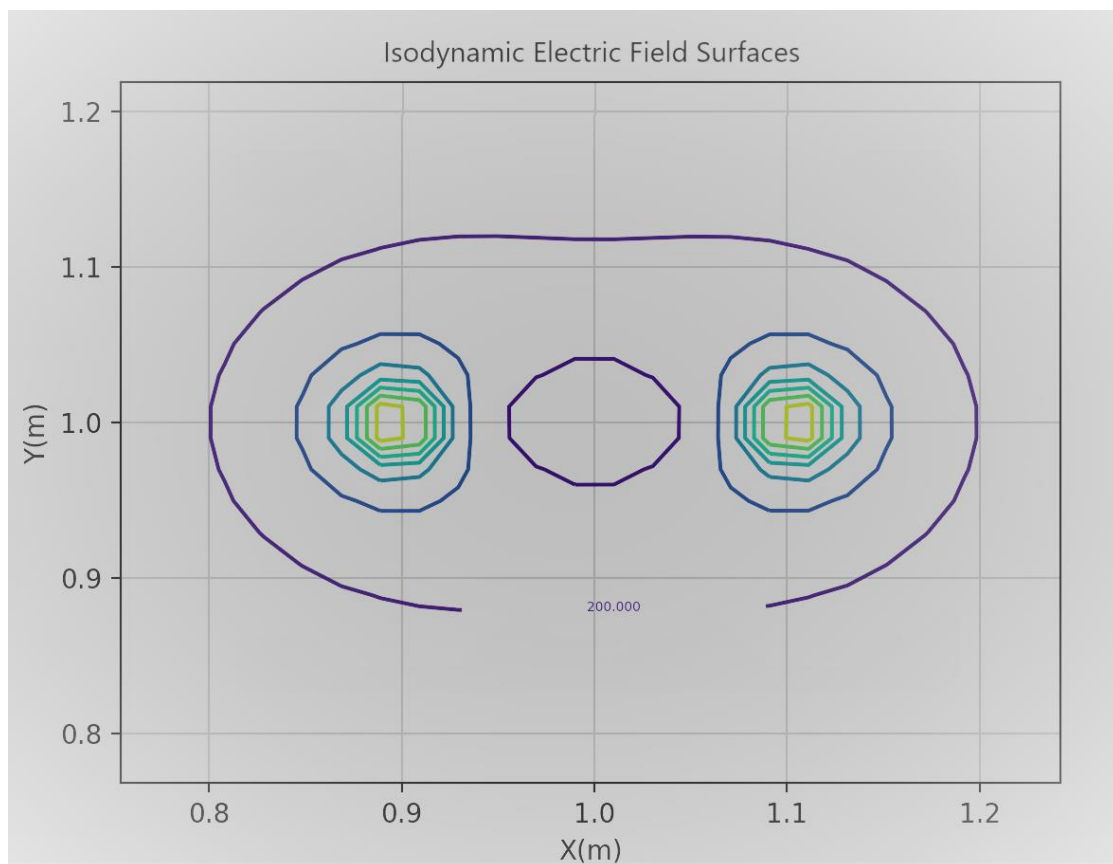
```


Και η γραφική παράσταση είναι:

Για τις Δυναμικές Γραμμές Ηλεκτρικού Πεδίου:



Για τις Ισοδυναμικές Επιφάνειες Ηλεκτρικού Πεδίου (ομοίως):

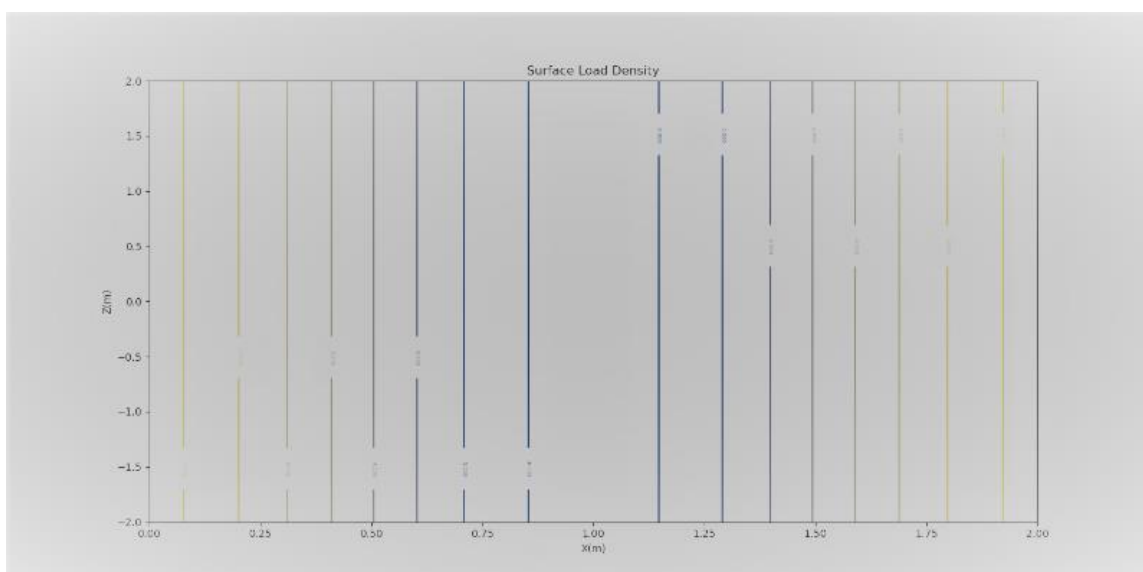


3^ο Σκέλος: Παρατίθεται ενδεικτικά ο κώδικας Python:

```
import numpy as np
import scipy as sp
from scipy import integrate
import matplotlib
import matplotlib.pyplot as plt
from mpl_toolkits import mplot3d

def f(x, y):
    e0 = 8.854 * (10**(-12))
    def Sx(TH): return (2*e0) / (((x + 1 - 0.1*np.cos(TH))**2 + 1 + 0.01*(np.sin(TH)
)**2)**1.5)
    sx, error1 = integrate.quad(Sx, 0, np.pi*2)
    def Sy(TH): return (-
1)/(((x - 1 - 0.1*np.cos(TH)) ** 2 + 1 + 0.01 * (np.sin(TH))**2)**1.5)
    sy, error1 = integrate.quad(Sy, 0, np.pi*2)
    return sx+sy
f1 = np.vectorize(f)
x = np.linspace(0, 2, 100)
y = np.linspace(-2, 2, 100)
X, Y = np.meshgrid(x, y)
Z = f1(X, Y)
fig, ax = plt.subplots()
CS = ax.contour(X, Y, Z, zdir='xy', offset=11, cmap=matplotlib.cm.cividis, color='blue')
ax.clabel(CS, CS.levels, inline=True, fontsize=5)
ax.set_title('Surface Load Density')
ax.set_xlabel('X(m)')
ax.set_ylabel('Z(m)')
plt.show()
```

Και η γραφική παράσταση είναι:



Εναλλακτικά, σε Matlab, το αντίστοιχο απόσπασμα θα ήταν:

```
fig = fig +1;
figure(fig);

[CS, H] = contour(X, Z, Si, 'Linewidth', 2, 'Color', 'b');
clabel(CS, H, cont);
hold on
set(gca, 'FontSize', 14)
xlabel('y', 'FontSize', 14)
ylabel('z', 'FontSize', 14)
title('Surface Load Density')
axis equal
grid on
hold off
```

Και η γραφική παράσταση είναι:

